Улучшенная генерация высших гармоник и подавление низших гармоник в рентгеновском ЛСЭ с двухчастотным ондулятором

К.В. Жуковскийа

Московский государственный университет имени М.В. Ломоносова, физический факультет, кафедра теоретической физики. Россия, 119991, Москва, Ленинские горы, д. 1, стр. 2

Статья поступила 24.01.2018, принята к публикации 26.02.2018.

Проводится теоретическое исследование и моделирование подавления низших гармоник излучения лазера на свободных электронах (ЛСЭ) с двухчастотным ондулятором. Для этого применяется феноменологическая модель ЛСЭ, которая описывает эволюцию мощности в ЛСЭ с учетом всех основных потерь. Проводится сравнение излучения гармоник в ЛСЭ с двухчастотным плоским ондулятором и с обычным плоским ондулятором. Исследуется излучение гармоник и индуцированный ЛСЭ разброс энергии в однопроходном ЛСЭ, где низшие по отношению к n-й гармонике подавлены, например, сдвигом фазы электронов относительно фотонов на $k\pi/n$, k — четное между ондуляторными секциями. Показываются преимущества использования двухчастотного ондулятора в ЛСЭ с подавленными низшими гармониками и возможность генерации в нем мощного рентгеновского излучения высших гармоник в линейном режиме. Мощность последних может превосходить мощность основного тона обычного ЛСЭ с плоским ондулятором.

Ключевые слова: ондуляторное излучение, генерация гармоник, лазер на свободных электронах (ЛСЭ), двухчастотный ондулятор, фазовый сдвиг.

УДК: 539.12.01. PACS: 41.60 m, 41.60 m, 41.60.Ap, 41.60.Cr.

введение

Синхротронное излучение (СИ) и ондуляторное излучение (ОИ) возникают при движении в магнитных полях ускоренных релятивистских зарядов с $\gamma = E/mc^2 \gg 1$, где γ — релятивистский параметр, E — энергия электрона, m — масса электрона, c — скорость света. СИ возникает при движении заряженных частиц по круговой траектории и приходит к пользователю с ее короткого участка, а ОИ возникает при движении зарядов в пространственно-периодическом магнитном поле и собирается со всей длины ондулятора [1, 2]. Таким образом, существенная разница между СИ и ОИ заключается в длине, на которой оно формируется. Принцип действия ондулятора был предложен в 1947 г. В. Л. Гинзбургом [3], который отметил, что излучение не сгруппированного электронного пучка в ондуляторе некогерентно, а излучение электронного сгустка (микробанча), продольные размеры которого меньше длины генерируемой волны, когерентно, как и излучение от последовательности таких микробанчей, разделенных длиной волны излучения. Ондулятор был реализован в 1951 г. Х. Мотцом (H. Motz) [4]. Строгая теория ОИ представлена, например, в [1, 5–9]. В основном интерес к ОИ в последние десятилетия стимулируется возможностью формирования когерентного ОИ и созданием лазеров на свободных электронах (ЛСЭ) — устройств, в которых взаимодействие ОИ с электронами в ондуляторе вызывает их группировку на длине волны излучения. При этом происходит значительный рост интенсивности излучения и оно становится в большой степени когерентным. Обычные источники когерентного излучения — лазеры — работают на длинах волн более 200 нм. Для генерации более коротковолнового когерентного излучения трудно найти материалы с хорошим коэффициентом отражения. Для исследования физических, химических и биологических процессов на масштабе нанометра в качестве источников излучения используют ЛСЭ. Рентгеновские ЛСЭ значительно превосходят мощность СИ в рентгеновском диапазоне [10–16].

Сама идея ЛСЭ была сформулирована Гинзбургом, который также предложил динамический ондулятор с движением электронного пучка в переменном во времени поле электромагнитной волны. Описание взаимодействия релятивистского электронного пучка в ондуляторе с излучением и теория ЛСЭ с малым коэффициентом усиления (small gain) были впервые предложены Мадэем (Madey) [17]; он также предположил, что ЛСЭ могут генерировать когерентное рентгеновское излучение. Экспериментальное подтверждение теории Мадэя было получено в [18, 19]. Кроме режима малого усиления в ЛСЭ возможен также режим большого усиления сигнала (high gain) [20-24], при котором экспоненциальный рост мощности излучения и насыщение происходят в ЛСЭ без оптического резонатора за один проход излучения. Отсутствие зеркал снимает естественное ограничение ЛСЭ по мощности и частоте, но отсутствие оптического резонатора не позволяет использовать его моды для задания структуры излучения. В ЛСЭ со спонтанным самоусилением излучения (ССИ) процесс генерации зарождается из начального шума со случайной фазой и приводит к постепенному образованию групп электронов, разделенных длиной волны излучения. На выходе такого ЛСЭ можно получить серии сверхкоротких импульсов большой пиковой мощности с хорошей пространственной когерентностью, но случайный характер начального шума обусловливает слабую временную когерентность излучения ЛСЭ ССИ. Для преодоления этого недостатка можно использовать затравочное лазерное излучение на частоте ЛСЭ. В современных ЛСЭ, работающих в рентгеновском диапазоне, требуются пучки электронов высоких энергий, а сами ЛСЭ имеют огромные размеры, что обусловливает высокую стоимость и сложность конструкции.

^a E-mail: zhukovsk@physics.msu.ru

Кроме основной гармоники возможно использование высших гармоник в ЛСЭ. Так, в [25-32] были предложены ЛСЭ с усилением высших гармоник (УВГ или HGHG FEL), сочетающие их генерацию, умножение, усиление и излучение. Генерация высших гармоник ОИ лучше всего осуществляется в ондуляторах с двоякопериодическим магнитным полем [33–37]: в ЛСЭ такие ондуляторы также дают преимущества в мощности гармоник [38, 39]. Далее мы покажем как с использованием имеющихся двухчастотных ондуляторов и электронных пучков с $\gamma \approx 1500$ и током ≈ 1 кА можно получить нано метровое излучение пиковой мощностью $\approx 1~\Gamma \text{Вт в ЛСЭ длиной} < 30~\text{м. Это меньше}$ размеров устройств, исследованных в [40-43], при этом предлагаемый нами ЛСЭ имеет большую мощность и меньшую длину волны, $\lambda \approx 4$ нм.

1. АНАЛИТИЧЕСКАЯ МОДЕЛЬ ОДНОПРОХОДНОГО КАСКАДНОГО ЛСЭ

Описание работы ЛСЭ с большим усилением (high gain FEL) проводится как в одномерных, так и в трехмерных моделях (например, [10–15, 44, 45]). В одномерном случае рассматривается эволюция всех процессов в ЛСЭ только по одной координате z вдоль ондулятора ЛСЭ; исследование вопросов фокусировки и др. может быть проделано с помощью соответствующих формул [46-49] или компьютерных программ. Трехмерные модели позволяют описать эффекты аксиальной асимметрии пространственного распределения электронной плотности, фокусировку пучка и др., что в результате дает более реалистичное описание динамики ЛСЭ. Простейшее полуаналитическое описание ЛСЭ с ССИ на основе логистического уравнения было предложено Даттоли [50]. Мощность гармоники nв однопроходном ЛСЭ экспоненциально растет по координате z вдоль оси ЛСЭ до мощности насыщения $P_{n,F} = \frac{P_F}{\sqrt{n}} \left(\frac{f_n}{nf_1} \right)^2$, при использовании $\sim 1/9$ начальной мощности $P_{0,n}$ [10–15]. Зависимость мощности гармоник от z может быть аппроксимирована следующим логистическим уравнением [38]:

$$P_{L,n}(z) \cong \frac{P_{0,n}A(n,z) e^{0.223z/Z_s}}{1 + (A(n,z) - 1)P_{0,n}/P_{n,F}},$$

$$A(n,z) \cong \frac{1}{3} + \frac{\cosh\frac{z}{L_{n,g}}}{4.5} + \frac{\cos\frac{\sqrt{3}z}{2L_{n,g}}\cosh\frac{z}{2L_{n,g}}}{0.444},$$
(1)

где $L_{n,g}\cong \lambda_u/(4\pi\sqrt{3}n^{1/3}\rho_n)$ — длина усиления, $Z_s\cong 1.07L_{1,g}\ln(9P_F/P_{0,1})$ — длина насыщения, $P_F\cong \sqrt{2}\rho_1P_e$, λu — основной период ондулятора [м], P_e — мощность электронного пучка, $\rho_n=\frac{1}{2\gamma}\Big(\frac{J}{4\pi i}(\lambda_u k_{\rm eff}f_n)^2\Big)^{1/3}$ — параметр Пирса ЛСЭ (например, [13, 14]), $k_{\rm eff}$ — эффективный ондуляторный параметр [36], f_n — коэффициенты Бесселя для гармоники n ОИ (например, [38, 55]), J — плотность электронного тока, A/m^2 , $i\cong 1.7\times 10^4$ — значение тока Альфвена, А. Для предварительно сгруппированного пучка электронов рост мощности гармоник ЛСЭ

приближенно описывается следующим образом [51]:

$$P_{L,n}(z) \cong \frac{P_{0,n}F(n,z)}{1 + F(n,z)\frac{P_{0,n}}{P_{F,n}}},$$

$$F(n,z) \cong \left| 2\left(\cosh\frac{z}{L_{n,g}} - \cos\frac{z}{2L_{n,g}}\cosh\frac{z}{2L_{n,g}}\right) \right|,$$
(2)

где $P_{0,n}$ — начальная мощность гармоники n, поступающая из предыдущей секции ЛСЭ, или эквивалентная мощность за счет банчинга; непрерывность последнего обеспечивается ренормализацией множителем $\rho_{1,\sec 1}/\rho_{1,\sec 2}$ для отличающихся друг от друга ондуляторов в соседних секциях. Линейную генерацию гармоник (1)—(2) дополняет нелинейная генерация, при которой мощность гармоник растет как n-я степень мощности основного тона [56–58] и приближенно описывается следующей логистической функцией [51]:

$$Q_n(z) \cong P_{n,0} \frac{\exp(nz/L_g)}{1 + (\exp(nz/L_g) - 1)P_{n,0}/P_{n,F}},$$
 (3)

где $L_g \equiv L_{1,g}$, $P_{n,0} \cong d_n b_n^2 P_{n,F}$ — эквивалентная затравочная мощность за счет банчинга, $d_3 \cong 8, d_5 \cong 116, b_n$ — индуцированные основной гармоникой ЛСЭ коэффициенты группировки, которые эволюционируют вдоль ЛСЭ таким образом: $b_n(z) \cong h_n(P_1(z)/P_e\rho_1)^{n/2}$ [58], где $h_{1,2,3,4,5}$ $\cong \{1, 1.5, 2.4, 4.3, 7.7\}$. Коэффициенты h_i описывают более ранний рост и насыщение высших гармоник, чем в одномерных моделях, что дает согласие с экспериментом и с 3D-симуляциями. Полная мощность излучения гармоник складывается из линейной и нелинейной составляющих: $P_n = P_{L,n} + Q_n$. Коэффициенты Бесселя f_n [38] для обычного плоского ондулятора (см. (4) с d=0), $f_{n,x}=J_{\frac{n-1}{2}}(n\xi)-J_{\frac{n+1}{2}}(n\xi)$ содержат обычные функции Бесселя $J_n(\xi)$, где $\xi = k^2/4(1+k^2/2)$. Ранее нами было установлено [33-36], что плоский двухчастотный ондулятор с магнитным полем

$$\mathbf{H} = (0, H_0(\sin(k_{\lambda}z) + d\sin(hk_{\lambda}z)), 0),$$

$$k_{\lambda} = 2\pi/\lambda_u, \quad h \in \mathbf{Z}, \quad d, h = \text{const},$$
(4)

позволяет при определенных значениях d и h усилить гармоники спонтанного ОИ. В исследовании вынужденного ОИ в однопроходном ЛСЭ с двухчастотным ондулятором [55] нами были продемонстрированы большие коэффициенты группировки и соответственно большая мощность гармоник. Коэффициенты Бесселя для ондулятора (4) $f_{n,x} = I_{n-1}^{(h)}(n) + I_{n+1}^{(h)}(n) + \frac{d}{h} \left(I_{n+h}^{(h)}(n) + I_{n-h}^{(h)}(n)\right)$ [53] содержат обобщенные функции Бесселя со следующим интегральным представлением [38]:

$$I_n^{(h)}(m) = \int_0^{2\pi} \frac{d\varphi}{2\pi} \cos\left(n\varphi + \frac{mk^2(\xi_1 + \xi_2 + \xi_3 + \xi_4)}{1 + k_{\text{eff}}^2/2}\right),$$

$$\xi_1 = \frac{\sin(2\varphi)}{4}, \quad \xi_2 = \frac{d\sin((h-1)\varphi)}{h(h-1)},$$

$$\xi_3 = \frac{d\sin((h+1)\varphi)}{h(h+1)}, \quad \xi_4 = \frac{d^2\sin(2h\varphi)}{4h^3},$$
(5)

где $k_{\text{eff}}^2 = k^2 + k_2^2$, $k_2 = k|d/h|$. Для обычного ондулятора d=0. Приведенные выше формулы описывают эволюцию мощности гармоник в идеальных условиях монохроматичного не расходящегося пучка без потерь, что значительно расходится с экспериментом, как показано нами в [62, 63]. Влияние дифракции пучка можно учесть следующей феноменологической формулой [51], корректирующей параметр Пирса:

$$\rho_n \to \rho_{D,n} = \frac{\rho_n}{(1 + \mu_{D,n})^{1/3}}, \quad \mu_{D,n} = \frac{\lambda_u \lambda_n}{(4\pi)^2 \rho_n \sigma}, (6)$$

где $\lambda_n = \frac{\lambda_u}{2n\gamma^2} \left(1 + \frac{k_{
m eff}^2}{2} \right)$ — длина волны гармоники излучения, $\sigma=\frac{P_e}{\pi E_e \gamma J}$ — сечение гауссова электронного пучка, $E_e=m_e c^2\cong 0.51\times 10^6$ эВ — энергия покоя электрона, P_e — мощность пучка, $J = I_0/\pi\sigma$ плотность тока в гауссовом пучке, I_0 — электронный ток. Кроме этого, нужно учесть тот факт, что высшие гармоники ОИ более чувствительны к неидеальностям пучка и ондулятора, чем основная гармоника, что продемонстрировано нами в [53, 54]. Учет повышенной чувствительности гармоник ЛСЭ к разбросу энергий электронов произведен нами в [55]; при этом получается хорошее согласие с экспериментом и с соответствующими численными симуляциями. Разброс энергий и расходимость пучка увеличивают длину насыщения и уменьшают мощность насыщения для каждой гармоники $n, L_{n,q} \to L_{n,q} \Phi, P_{n,F} \to P_{n,F} \eta$. Еще лучшее согласие модели с экспериментом получено нами в [62, 63]. Оно обеспечивается следующими феноменологическими формулами:

$$\mu_{\varepsilon,n}(\sigma_{\varepsilon},n) \cong 2n\sigma_{\varepsilon} / \left(n^{1/3}\rho_{n}\right),$$

$$\zeta \cong 1 + 0.07 \sum_{i=x,y} \mu_{i} + 0.35 \sum_{i} \mu_{i}^{2},$$
(7)

$$\Phi_n \cong \left(\zeta^{n^{1/2}} + 0.165\mu_{\varepsilon,n}^2\right) e^{0.034\mu_{\varepsilon,n}^2},$$

$$\eta_n \cong \frac{\left(e^{-\Phi_n(\Phi_n - 0.9)} + 1.57(\Phi_n - 0.9)/\Phi_n^3\right)}{1.062}.$$
(8)

Зависимость $\mu_{x,y}$ от параметров Твисса и эмиттанса приведена в [52]; она довольно сложная и не меняет существа формул (7), (8); для согласованного пучка $\zeta \approx 1.02-1.08$. Для стабильной работы ЛСЭ необходим малый разброс энергий и эмиттанс пучка: $\varepsilon_{x,y} \leqslant \lambda_0/4\pi$, $\sigma_{\varepsilon} \leqslant \rho/2$ (например, [13, 15]). В рентгеновском диапазоне получаем $\zeta \approx 1.01-1.04$. В подавляющем большинстве случаев основной тон ЛСЭ доминирует над гармониками. Приведенные выше формулы описывают этот случай. Взаимодействие излучения с электронным банчем увеличивает разброс энергий электронов за счет индуцированного ЛСЭ вклада σ_{FEL} , дополняющего начальный разброс $\sigma_{\varepsilon,0}$ согласно [50].

Выясним, как меняются ранее разработанные формулы для специального случая, когда доминирует гармоника n, а основной тон тем или иным способом подавлен. В отсутствии основного тона рост мощности гармоники n вдоль оси ондулятора не ограничен насыщением основного тона и продолжается далее по z далее, пока не достигнет естественного насыщения с мощностью $P_{F,n}\cong\sqrt{2}\rho_n P_e$, которая зна-

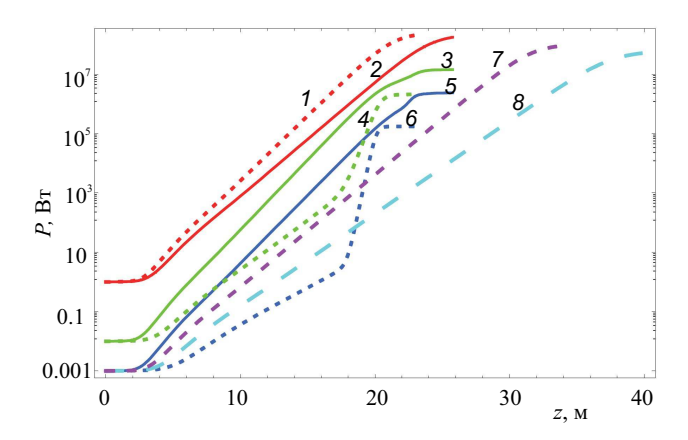
чительно превышает $P_{n,F}=\frac{P_F}{\sqrt{n}}\left(\frac{f_n}{nf_1}\right)^2$. С учетом всех потерь реальная мощность окажется несколько ниже. В рамках феноменологической модели лучшее согласие с результатами 3D-симуляций [58] и экспериментом получается с $P_{F,n,D} \cong \sqrt{2(\rho_{D,n})^2} P_e \eta_n / \rho_n$. Нелинейная генерация гармоник теперь индуцируется гармоникой n и описывается формулой (3), где длина усиления $L_{n,q}$, а не L_q , и мощность насыщения $P_{m \times n, F, D} = \frac{P_{F, n, D}}{\sqrt{m}} \left(\frac{f_{m \times n}}{m f_n} \right)^2 \eta_m$, а не $P_{m, F}$ (1). Банчинг на длине волны субгармоники m индуцируется доминирующей гармоникой n и его коэффициенты эволюционируют так: $b_{m imes n}(z) \,\cong\, h_m(P_n(z)/P_e
ho_{D,m imes n})^{m/2}$. Ввиду малости значений параметра Пирса и Бесселя f_m для высоких гармоник в обычных ондуляторах такая генерация субгармоник возможна на практике только в двухчастотных ондуляторах, которые поддерживают высокие гармоники. Разброс энергий индуцируется доминирующей гармоникой n и записывается теперь следующим образом:

$$\begin{split} &\sigma_{\varepsilon}^{2}(z) = \sigma_{\varepsilon,0}^{2} + \\ &+ \frac{3}{2} \sqrt{\frac{\rho_{D,n} P_{0,n} A(n,z) \big|_{\rho \to \rho_{D,n}} \Big/ P_{e}}{1 + 1.24 P_{0,n} \Big[A(n,z) \big|_{\rho \to \rho_{D,n}} - 1 \Big] \Big/ P_{n,F} \eta(\mu_{\varepsilon,n})}}. \end{split}$$

Описанная выше улучшенная феноменологическая модель ЛСЭ учитывает все основные потери и лучше описывает эволюцию высших гармоник по сравнению с [55]. Учет подавления низших гармоник и описание мощности субгармоник отличает разработанную выше модель от использованной в [59–63] и позволяет применить ее для моделирования каскадного ЛСЭ с подавленным основным тоном, которое мы проведем с следующих разделах. Использование феноменологических параметров позволяет получить соответствие описания роста гармоник трехмерным моделям и эксперименту.

2. СРАВНИТЕЛЬНЫЙ АНАЛИЗ ДИНАМИКИ МОЩНОСТИ ГАРМОНИК РЕНТГЕНОВСКОГО ЛСЭ С ДВУХЧАСТОТНЫМ И ОБЫЧНЫМ ОНДУЛЯТОРАМИ

С помощью гармоник ОИ двухчастотных ондуляторов, можно получить мягкое рентгеновское излучение в ЛСЭ с электронным пучком относительно невысоких энергий и низкой частотой затравочного лазера. Для генерации мягкого рентгеновского излучения в нанометровом диапазоне используем параметры ондулятора SPARC, $k=2.133,\ \lambda_{u,1}=2.80$ см, электроны энергии $E \approx 0.77~\Gamma$ эВ и для двухчастотного ондулятора выберем $h=3,\,d=0.7,\,$ чтобы усилить высшие гармоники [36, 53, 54]. Некоторые данные моделирования приведены в Приложении 1. На рис. 1 линиями 2, 3, 5 показана эволюция мощности гармоник ЛСЭ с двухчастотным ондулятором с полем (4), линиями 1, 4, 6 — ЛСЭ с обычным плоским ондулятором с k=2.133, $\lambda_{u,1} = 2.80$ см (Приложение 2), 8 — основная гармоника ЛСЭ с плоским ондулятором с k = 0.355, $\lambda_{u,1} = 0.933$ см (Приложение 4), 7 — основная гармоника ЛСЭ с плоским ондулятором с k = 0.9, $\lambda_{u,1} = 1.25$ см (Приложение 3).



 $Puc.\ 1.$ Рост мощности гармоник по длине ЛСЭ с двухчастотным ондулятором с $k=2.133,\ \lambda_{u,1}=2.80$ см, $h=3,\ d=0.7$ (линии 2,3,5); с обычным ондулятором, с $k=2.133,\ \lambda_{u,1}=2.80$ см (линии 1,4,6); основной тон обычного ондулятора с $k=0.356,\ \lambda_{u,1}=0.93$ см, соответствующего второму периодическому полю двухчастотного ондулятора (линия 8); и основной тон плоского ондулятора с $k=0.90,\ \lambda_{u,1}=1.25$ см (линия 7)

При этом энергии электронных пучков, естественно, выбраны так, чтобы частоты соответствующих гармоник ондуляторов совпадали: основная гармоника 2 с длиной волны $\lambda_{n=1}=20.6$ нм, третья гармоника 3 с $\lambda_{n=3}=6.9$ нм, пятая гармоника 5-с $\lambda_{n=5}=4.1$ нм. Штриховые синие линии соответствуют основному тону с $\lambda_{n=1} = 4.1$ нм ЛСЭ с обычными плоскими ондуляторами. Сравнительный анализ поведения мощности гармоник ЛСЭ с двухчастотным ондулятором с $k=2.133, \lambda_{u,1}=2.80$ см, h=3, d=0.7 (линии 2, 3, 5 на рис. 1) и с обычными ондуляторами (линии 1, 4, 6, 7, 8) показывает очевидные преимущества двухчастотного ондулятора. Обычный ондулятор с основным полем двухчастотного ондулятора 7, 8 дает мощную основную гармонику 2, короткую длину насыщения ~ 23 м, но слабые высшие гармоники 4 и 6, которые индицируются основным тоном в нелинейном режиме после 18 м. На длине 18 м мощность гармоник двухчастотного ондулятора превышает мощность соответствующих гармоник обычного ондулятора в ~ 103 раз (3, 4, 5, 6 на рис. 1). Используя обычный ондулятор с коротким периодом и полем, соответствующим второму периодическому полю двухчастотного ондулятора, получаем излучение его основной гармоники 7 на длине волны пятой гармоники двухчастотного ондулятора и высокую мощность насыщения ~ 50 MBт. Однако длина усиления и насыщения в этом случае оказывается на $\approx 50\%$ больше, чем у ЛСЭ с двухчастотным ондулятором: 40 м вместо 25 м (рис. 1). На длине 20 м мощность пятой гармоники двухчастотного ондулятора больше в 103 раз (ср. 5 и 8 на рис. 1). ЛСЭ с обычным ондулятором с оптимальными параметрами для генерации основного тона на $\lambda_{n=1} = 4.1$ нм, $k = 0.9, \lambda_{u,1} = 1.25$ см имеет бо́льшую мощность насыщения, чем мощность насыщения гармоник ЛСЭ с двухчастотным ондулятором, но в линейном режиме до 20 м гармоники двухчастотного ондулятора мощнее на один — два порядка (ср. 5 и 7 на рис. 1). Мощность насыщения пятой гармоники двухчастотного ондулятора ~ 2 МВт достигается на ~ 23 м (5 на рис. 1);

в ЛСЭ с обычным ондулятором она достигается на 33 м (8 на рис. 1). Кроме того, как показано в [55], для высших гармоник коэффициент группировки электронов в пучке с малым разбросом энергии $\sigma_{\varepsilon} = 0.0001$ эволюционирует, следуя за коэффициентом группировки для основной частоты ЛСЭ, и лазерный эффект для гармоник получается во многом за счет группировки на их длинах волн λ_n , а не только на длине λ_0 . Для обычного ондулятора, где все в основном определяется ростом мощности первой гармоники, коэффициенты группировки для высших гармоник имеют меньшие значения, чем для двухчастотного, и они растут слабо, вплоть до нелинейного роста мощности этих гармоник, индуцированного основным тоном. В ЛСЭ с УВГ, где усилитель-излучатель настроен на высшую гармонику группирователя, использование двухчастотного ондулятора-группирователя электронов дает значительные преимущества в мощности линейной генерации гармоник и группировке на из длинах волн, что позволяет эффективно использовать его и в каскадных ЛСЭ [59-63].

3. УСИЛЕНИЕ МОЩНОСТИ ГАРМОНИК ЛСЭ ПОДАВЛЕНИЕМ ОСНОВНОГО ТОНА

Выше мы показали, что в ЛСЭ с двухчастотным ондулятором можно получить значительную мощность высших гармоник, однако в процессе экспоненциального роста мощности основная гармоника ЛСЭ доминирует над высшими и определяет индуцированный ЛСЭ разброс энергий электронов. Насыщение высших гармоник наступает с насыщением основного тона ЛСЭ или несколько ранее ([30, 57] и др.). Чтобы получить максимальную мощность высших гармоник ЛСЭ, можно подавить излучение основного тона, например с помощью фильтров или путем наложения фазового сдвига, например в $2\pi/n$ или $4\pi/n$ между электронами и фотонами в линии последовательно установленных ондуляторов [64, 65]. Такая разфазировка положения микробанчей электронов и волны фотонного импульса на $k\pi/n$, где k=2,4,6..., не затрагивает процесс лазерного излучения на гармонике n, и последняя может доминировать в спектре ЛСЭ [64, 65]. Ослабление основной частоты ЛСЭ также уменьшает индуцированный ЛСЭ разброс энергии, который теперь зависит от роста мощности гармоник, а не от основного тона.

Нами впервые смоделировано подобное конструктивное решение применительно к двухчастотному ондулятору, в котором происходит сильный рост высших гармоник, не индуцированный основным тоном. В частности, расфазировка электронов и фотонов на $2\pi/5$ не препятствует группировке электронов на длине волны пятой гармоники n=5 и на ней можно получить интенсивное лазерное излучение, в то время сдвиг фаз на $2\pi/5$ нарушает группировку электронов на длинах волн других гармоник [64, 65].

Мы выбрали тот же двухчастотный ондулятор, что и в предыдущем примере на рис. 1 и пучок электронов с $\gamma=1507$ с малым разбросом энергии $\sigma_{\varepsilon}=0.0001$, и током ≈ 1 кA, типичным для современных ЛСЭ [10, 11, 16]. Некоторые данные моделирования приведены в Приложении 5, результат графически представлен на рис. 2. Как видно на рис. 2, подавление основной гармоники позволяет пятой гармонике ЛСЭ

с двухчастотным ондулятором продолжать рост значительно дальше. Насыщение основного тона более не ограничивает мощность пятой гармоники с длиной волны $\lambda_{n=5}=4.1\,$ нм. Начиная с длины $\sim 22\,$ м в обычном ЛСЭ наступает насыщение пятой гармоники, а в ЛСЭ с подавленными низшими гармониками мощность пятой гармоники растет вплоть до 29 м и достигает насыщения на 1 ГВт (сплошная синяя линия на рис. 2), превосходя на два порядка соответствующую мощность насыщения $\sim 10\,$ МВт той же гармоники в обычном ЛСЭ с двухчастотным ондулятором. Учет шума банча не меняет поведения гармоник в конце ЛСЭ, а большая начальная мощность уменьшит длину ЛСЭ.

Более того, в ЛСЭ с двухчастотным ондулятором с подавленными низшими гармониками (например. разфазировкой электронов и фотонов) пятая гармоника (сплошная синяя линия на рис. 2), не будучи ограничена основным тоном, становится доминирующей (сплошная синяя линия на рис. 2) и задает индуцированный разброс энергий в ЛСЭ. Кроме того, она способна сама генерировать высшие по отношению к ней гармоники, подобно тому как главная гармоника в обычном ондуляторе генерирует гармоники в нелинейном режиме. Нами показано, что с пучком электронов с разбросом энергии $\sigma_{\varepsilon} = 0.0001$ в конце ЛСЭ возможна нелинейная генерация мощной третьей субгармоники с мощностью насыщения ~2.6 МВт (сплошная фиолетовая линия на рис. 2) за счет доминирующей в ЛСЭ пятой гармоники. Это невозможно при наличии мощного основного тона в ЛСЭ (пунктирные линии на рис. 2), так как высшие гармоники имеют малую начальную мощность и ограниченный основным тоном рост.

На рис. 3 на левом графике показана эволюция разброса энергии по длине ЛСЭ с двухчастотным ондулятором с подавленной основной гармоникой (сплошная линия) и в случае, когда основной тон, как обычно, доминирует (штриховая линия). Притом что мощность пятой гармоники в обоих случаях растет одинаково до ~ 20 м (ср. сплошную и пунктирную синие линии на рис. 2), а индуцированный ЛСЭ разброс энергий в случае подавленного основного тона значительно меньше на 18-27 м (правый график на рис. 3). Более того, на длине 22.5 м, соответствующей насыщению пятой

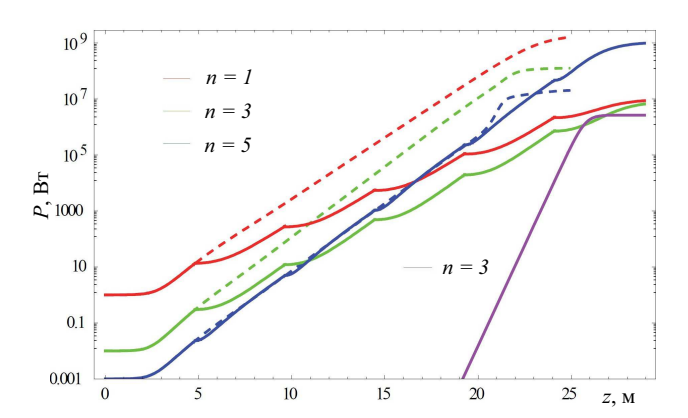


Рис. 2. Рост мощности гармоник ЛСЭ с двухчастотным ондулятором. Рост мощности излучения в ЛСЭ с подавленными 1-й и 3-й гармониками показан сплошными, в обычном ЛСЭ — пунктирными линиями

гармоники обычного ЛСЭ, индуцированный разброс энергии в ЛСЭ с подавлением низших гармоник фазовым сдвигом оказывается почти в восемь раз меньше, чем в обычном ЛСЭ (правый график на рис. 3).

Итак, в ЛСЭ с двухчастотным ондулятором с подавленным основным тоном благодаря значительному, по сравнению с обычным ондулятором, усилению гармоник в линейном режиме, которое происходит независимо от основного тона и не ограничено им, удается получить пятую гармонику с мощностью, превышающей мощность основного тона обычного ондулятора, настроенного на частоту пятой гармоники двухчастотного ондулятора. Кроме того, индуцированный разброс энергий в ЛСЭ с подавленными низшими гармониками значительно ниже по сравнению с обычным.

выводы

При помощи феноменологической модели ЛСЭ с учетом основных потерь мы сравнили эволюцию мощности гармоник однопроходных ЛСЭ с обычным и с двухчастотным ондуляторами. Сравнение работы ЛСЭ с обычным плоским ондулятором и с двухчастотным плоским ондулятором показало значительные преимущества последнего в генерации и излучении гармоник в линейном режиме независимо от излучения основного тона ЛСЭ. Разница в мощности излучения гармоник в ЛСЭ с обычным плоским и с двухчастотным ондуляторами на одинаковой длине ЛСЭ составляет до 10^2 раз.

Используя подавление низших гармоник ЛСЭ, например с помощью сдвига фазы электронов относительно фотонов между секциями ондуляторов на $2\pi/n$, можно повысить максимальную мощность гармоники n в ЛСЭ. Мы впервые продемонстрировали, что в ЛСЭ с двухчастотным ондулятором и с пучком электронов высокого качества можно сделать пятую гармонику доминирующей. При этом ее излучение происходит независимо от основного тона в линейном режиме и ее мощность насыщения повышается до 100 раз. Например, с электронами с $\gamma = 1500$ и током ≈ 135 A можно получить 125 MBт на длине волны $\lambda_{n=5} \approx 4$ нм на 28 м, а с током 1 кА получаем 1 ГВт излучения на той же длине волны (рис. 2). Эта мощность больше, а длина насыщения короче, чем соответствующие величины для основной гармоники ЛСЭ с обычным ондулятором, работающим на той же длине волны.

Нами продемонстрировано, что в компактном ЛСЭ длиной \sim 28 м с двухчастотным ондулятором и подавленными низшими гармониками возможна генерация мощной, 2.6 МВт, третьей субгармоники на длине волны $\lambda_{n=5\times3}=1.37$ нм (сплошная фиолетовая линия на рис. 2) за счет доминирующей пятой гармоники. Это невозможно при наличии мощного основного тона в обычном ЛСЭ даже с двухчастотным ондулятором.

Кроме того, нами показано, что в однопроходном ЛСЭ с подавленными низшими гармониками разброс энергии, определяемый в нашем случае пятой гармоникой двухчастотного ондулятора, оказывается до восьми раз меньше, чем в обычном ЛСЭ, где доминирует основной тон. Разница в индуцированном ЛСЭ разбросе энергии максимальна на длине насыщения пятой гармоники в обычном ЛСЭ.

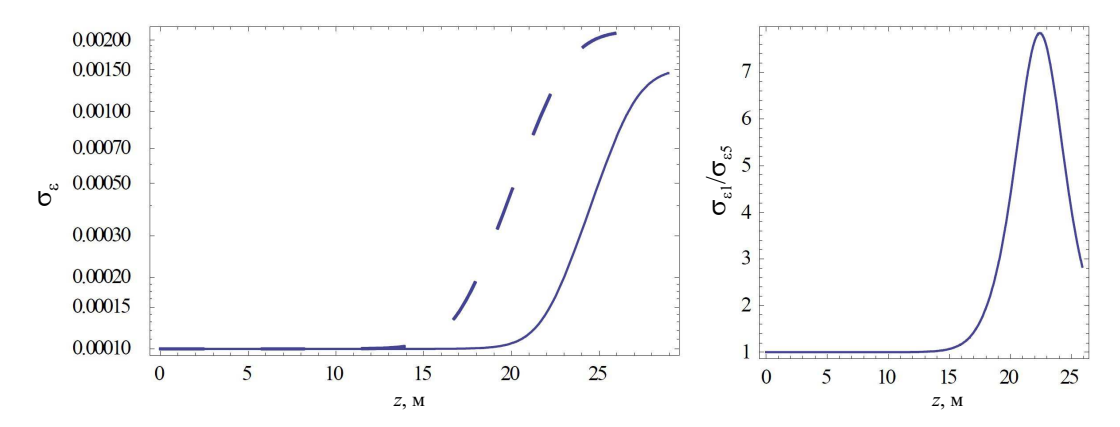


Рис. 3. Эволюция разброса энергий электронов в ЛСЭ по его длине: пунктирные линии соответствуют обычному ЛСЭ, сплошные линии — ЛСЭ с подавленными низшими гармониками. На графике справа — отношение разброса энергий в обычном ЛСЭ к разбросу в ЛСЭ с подавленными низшими гармониками.

Таким образом, фильтрация и подавление низших гармоник, например за счет фазового сдвига электронов и фотонов на $k\pi/n$, $k=2,4,6,\ldots$ еще более повышает эффективность двухчастотного ондулятора в ЛСЭ и позволяет получить мощное доминирующее излучение гармоники n в рентгеновском диапазоне, достигающее мощности 1 ГВт с электронным током 1 кА. Рассмотренные компактные ЛСЭ с генерацией высших гармоник представляют альтернативу большим и дорогостоящим установкам типа X-FEL [66] и др.

Авторы благодарят профессора А.В. Борисова, профессора В.Ч. Жуковского, профессора А.Н. Васильева и ведущего научного сотрудника А.Е. Лобанова за полезные обсуждения.

Приложение 1

Некоторые данные моделирования излучения ЛСЭ на 20.6 нм с двухчастотным ондулятором (рис. 1):

$$\begin{split} f_n &= \{0.685, 0.526, 0.421\}, \\ \rho_n &= \{0.0012, 0.0011, 0.0010\}, \quad \gamma = 1507, \\ P_E &= 104 \; \Gamma \mathrm{Bt}, \quad J = 9.96 \times 10^9 \; \mathrm{A/m}^2, \\ \sigma &= 4.31 \times 10^{-9} \; \mathrm{m}^2, \quad I_0 = 135 \; \mathrm{A}, \\ \sigma_e &= 0.0001, \quad \zeta = 1.07, \quad k = 2.133, \quad h = 3, \\ d &= 0.7, \quad \lambda_u = 2.8 \; \mathrm{cm}, \quad L_s = 26 \; \mathrm{m}, \quad L_{\mathrm{gain}} = 1.1 \; \mathrm{m}, \\ \lambda_n &= 1 = 20.6 \; \mathrm{hm}, \quad \lambda_{n=3} = 6.9 \; \mathrm{hm}, \quad \lambda_{n=5} = 4.1 \; \mathrm{hm}. \end{split}$$

Приложение 2

Некоторые данные моделирования излучения ЛСЭ на 20.6 нм с обычным плоским ондулятором с периодом 2.8 см (рис. 1):

$$\begin{split} f_n &= \{0.799, 0.330, 0.201\}, \\ \rho_n &= \{0.0014, 0.0008, 0.0006\}, \quad \gamma = 1492, \\ P_E &= 104 \ \Gamma \text{Bt}, \quad J = 9.96 \times 10^9 \ \text{A/m}^2, \\ \sigma &= 4.36 \times 10^{-9} \ \text{m}^2, \quad I_0 = 136 \ \text{A}, \\ \sigma_e &= 0.0001, \quad \zeta = 1.07, \quad k = 2.133, \quad \lambda_{u,1} = 2.8 \ \text{cm}, \\ L_s &= 23 \ \text{m}, \quad L_{\text{gain}} = 1.0 \ \text{m}, \quad \lambda_{n=1} = 20.6 \ \text{hm}, \\ \lambda_{n=3} &= 6.9 \ \text{hm}, \quad \lambda_{n=5} = 4.1 \ \text{hm}. \end{split}$$

Приложение 3

Некоторые данные моделирования излучения ЛСЭ с основной гармоникой на 4.1 нм с обычным плоским ондулятором с периодом 1.33 см (рис. 1):

$$\begin{split} f_n &= \{0.923, 0.188, 0.055\}, \\ \rho_n &= \{0.0006, 0.0002, 0.0001\}, \quad \gamma = 1507, \\ P_E &= 103.95 \; \Gamma \mathrm{Bt}, \quad J = 9.96 \times 10^9 \; \mathrm{A/m}^2, \\ \sigma &= 4.31 \times 10^{-9} \; \mathrm{m}^2, \quad I_0 = 135 \; \mathrm{A}, \\ \sigma_e &= 0.0001, \quad \zeta = 1.07, \quad k = 0.9, \quad \lambda_{u,1} = 1.33 \; \mathrm{cm}, \\ L_8 &= 34 \; \mathrm{m}, \quad L_{\mathrm{gain}} = 1.2 \; \mathrm{m}, \quad \lambda_{n=1} = 4.1 \; \mathrm{Hm}. \end{split}$$

Приложение 4

Некоторые данные моделирования излучения ЛСЭ с основной гармоникой на 4.1 нм с обычным плоским ондулятором с периодом 0.93 см (рис. 1):

$$\begin{split} f_n &= \{0.985, 0.044, 0.003\}, \\ \rho_n &= \{0.0003, 4\times 10^{-5}, 5\times 10^{-6}\}, \quad \gamma = 1098, \\ P_E &= 104~\Gamma\mathrm{Bt}, \quad J = 9.96\times 10^9~\mathrm{A/m}^2, \\ \sigma &= 5.92\times 10^{-9}~\mathrm{m}^2, \quad I_0 = 185~\mathrm{A}, \\ \sigma_e &= 0.0001, \quad \zeta = 1.07, \quad k = 0.356, \quad \lambda_{u,1} = 0.93~\mathrm{cm}, \\ L_s &= 40~\mathrm{m}, \quad L_{\mathrm{gain}} = 1.4~\mathrm{m}, \quad \lambda_{n=1} = 4.1~\mathrm{hm}. \end{split}$$

Приложение 5

Некоторые данные моделирования излучения ЛСЭ на 4.1 нм с двухчастотным ондулятором с подавлением основного тона сдвигом фазы электронов и фотонов между секциями (рис. 2):

$$\begin{split} f_n &= \{0.685, 0.526, 0.421\}, \\ \rho_n &= \{0.0014, 0.0012, 0.0010\}, \quad \gamma = 1507, \\ P_E &= 800 \; \Gamma \text{BT}, \quad J = 9.96 \times 10^9 \; \text{A/m}^2, \\ \sigma &= 3.3 \times 10^{-8} \; \text{m}^2, \quad I_0 = 1039 \; \text{A}, \\ \sigma_e &= 0.0001, \quad \zeta = 1.07, \quad k = 2.133, \quad h = 3, \\ d &= 0.7, \quad P_0 = 1 \; \text{BT}, \quad \lambda_u = 2.8 \; \text{cm}, \\ L_s &= 25 \; \text{m}, \quad L_{s5} = 29 \; \text{m}, \quad L_{\text{gain}} = 1 \; \text{m}, \\ \lambda_{n=1} &= 20.6 \; \text{hm}, \quad \lambda_{n=3} = 6.9 \; \text{hm}, \quad \lambda_{n=5} = 4.1 \; \text{hm}, \\ \lambda_{n=5\times 3} &= 1.37 \; \text{hm}, \quad P_{n=5}^{\text{sat}} = 1.0 \; \Gamma \text{BT}, \\ P_{n=5\times 3}^{\text{sat}} &= 2.6 \; \text{MBT}. \end{split}$$

СПИСОК ЛИТЕРАТУРЫ

- 1. *Багров В. Г., Бисноватый-Коган Г. С., Бордовицын В. А.* Теория излучения релятивистских частиц. М.: Физматлит, 2002.
- Багров В. Г., Тернов И. М., Холомай Б. В. Излучение релятивистских электронов в продольном периодическом электрическом поле кристалла. Томск: ТФ СО АН СССР, 1987.
- 3. *Гинзбург В. Л.* // Изв. АН СССР (Физика). 1947. **11**. С. 1651.
- Motz H., Thon W., Whitehurst R. N. J. // Appl. Phys. 1953.
 P. 826.
- Арцимович Л. А., Померанчук И. Я. // ЖЭТФ. 1946. 16. С. 379.
- 6. *Тернов И. М., Михайлин В. В., Халилов В. Р.* Синхротронное излучение и его применения. М.: Изд-во МГУ, 1980.
- 7. Алферов Д. Ф., Башмаков Ю. А. Бессонов Е. Г.// ЖТФ. 1974. **18**. С. 1336.
- 8. Алферов Д. Ф., Башмаков Ю. А., Черенков П. А. // УФН. 1989. **157**. С. 389
- Alexeev V.I., Bessonov E. G. // Nucl. Instr. Meth. A. 1991.
 308. C. 140.
- McNeil B. W. J., Thompson N. R. // Nature Photonics. 2010.
 P. 814.
- 11. *Pellegrini C., Marinelli A., Reiche S. //* Rev. Mod. Phys. 2016, **88**, 015006.
- 12. Huang Z., Kim K. J. // Phys. Rev. ST-AB. 2007. 10. 034801.
- 13. Saldin E. L., Schneidmiller E. A., Yurkov M. V. The Physics of Free Electron Lasers. Springer, Singapore, 2000.
- Bonifacio R., Pellegrini C., Narducci L. // Opt. Comm. 1984.
 P. 373.
- Schmüser P., Dohlus M., Rossbach J., Behrens C. Springer Tracts in Modern Physics. 258. Springer, 2014.
- 16. Pellegrini C. // Phys. Scr. 2016. 2016. 014004.
- 17. Madey J. M. J. // J. Appl. Phys. 1971. 42. P. 1906.
- 18. Elias L. R. et al. // Phys. Rev. Lett. 1976. 36. P. 717.
- 19. Deacon D. A. et al. // Phys. Rev. Lett. 1977. 38. P. 892.
- 20. Kroll N. M., McMullin W. A. // Phys. Rev. A. 1978. 17. P. 300.
- 21. Colson W. B. // Nucl. Instrum. Meth. A. 1997. 393. P. 82-85.
- 22. Sprangle P., Smith R. A. // Phys. Rev. A. 1980. 21. P. 293.
- Bonifacio R., Pellegrini C., Narducci L. M. // Opt. Comm. 1984. 50. P. 373.
- Kim K. J., Xie M. // Nucl. Instrum. Meth. A. 1993. 331.
 P. 359–364.
- 25. Yu L.-H. et.al. // Science. 2000. 289. P. 932.
- 26. Yu L.-H. // Phys. Rev. A. 1991. 44. P. 5178.
- Saldin E. L., Schneidmiller E. A., Yurkov M. V. // Opt. Comm. 2002. 202. P. 169.
- 28. Shaftan T., Yu L.-H. // Phys. Rev. E. 2005. 71. 046501.
- Li He-Ting, Jia Qi-Ka // Chinese Physics C. 2013. 37. 028102.

- Deng Hai-Xiao, Dai Zhi-Min // Chinese Physics C. 2013. 37. 102001
- Deng Hai-Xiao, Dai Zhi-Min // Chinese Physics C. 2010. 34.
 P. 1140.
- 32. Ling Zeng et al. // Chinese Physics C. 2016. 40. 098102.
- Жуковский К. В. // Вестн. Моск. ун-та. Физ. Астрон. 2015.
 № 4. С. 18.
- 34. Zhukovsky K. V. // J. Electromagn. Wave. 2015. 29. P. 132.
- 35. Zhukovsky K. // J. Electromagn. Wave. 2014. 28. P. 1869.
- 36. Zhukovsky K. // Laser Part. Beams. 2016. 34. P. 447.
- 37. Mishra G., Gehlot M., Hussain J.-K. // Nucl. Instrum. A. 2009. **603**. P. 495.
- Dattoli G., Mikhailin V. V., Ottaviani P. L., Zhukovsky K. // J. Appl. Phys. 2006. 100, 084507.
- Dattoli G., Mirian N. S., DiPalma E., Petrillo V. // Phys. Rev. ST-AB. 2014. 17. 050702.
- 40. Shintake T. // Nature Photonics. 2008. 2. P. 555.
- 41. Yu L.-H. et al. // Phys. Rev. Lett. 2003. 91. 074801.
- 42. McNeil B. // Nature Photonics. 2008. 2. P. 522.
- 43. Tiedtke K. et al. // New J. Phys. 2009. 11. 023029.
- 44. Seddon E. A. et al. // Rep. Prog. Phys. 2017. 80. P. 115901.
- 45. Saldin E. L. et al. // New J. Phys. 2010. 12. P. 035010.
- 46. Quattromini M. et al. // Phys.Rev ST-AB. 2012. 15. 080704.
- 47. Walker R. P. // Nucl. Instrum. Meth. A. 1993. 335. P. 328.
- 48. Винокуров Н. А., Левичев Е. Б. // УФН. 2015. 185. С. 917.
- 49. Onuki H., Elleaume P. Undulators, wigglers and their applications, Taylor & Francis. New York, 2003.
- 50. Dattoli G., Ottaviani P. L. // Opt.Comm. 2002. 204. P. 283.
- Dattoli G., Ottaviani P. L., Pagnutti S. // J. Appl. Phys. 2005.
 P. 113102.
- Dattoli G., Giannessi L., Ottaviani P. L., Ronsivalle C. // J. Appl. Phys. 2004. 95. P. 3206.
- Zhukovsky K. // Nucl. Instrum. Meth. Phys. Res. B, 2016.
 369. P. 9.
- 54. Zhukovsky K. // Opt. Comm. 2015. 353. P. 35.
- Zhukovsky K., Potapov I. // Laser Part. Beams, 2017. 35.
 P. 326.
- De Martini F. Laser Handbook, edited by W.B. Colson,
 C. Pellegrini and A. Renieri (North-Holland, Amsterdam),
 1990. 6. P. 195.
- Bonifacio R., De Salvo L., Pierini P. // Nucl. Instrum. Methods Phys. Res. A. 1990. 293. P. 627.
- 58. Huang Z., Kim K.-J. // Phys. Rev. E. 2000. 62. P. 7295.
- 59. Zhukovsky K. // EPL. 2017. 119. P. 34002.
- 60. *Жуковский К.В.* // Изв. вузов. Физика. 2017. **60**, № 9. С. 155.
- 61. Жуковский К.В. // Изв. вузов. Физика. 2018. 61, № 2. С. 67.
- 62. Zhukovsky K. // J. Phys. D. 2017. 50. 505601.
- 63. Zhukovsky K. // J. Appl. Phys. 2017. 122. 233103.
- McNeil B. W. J., Robb G. R. M., Poole M. W., Thompson N. R. // Phys. Rev. Lett. 2006. 96. 084801.
- Schneidmille, E.A., Yurkov M. V. // Phys. Rev. ST-AB. 2012.
 15. 080702.
- Altarelli M. et al. // European XFEL Annual Report No. XFEL.EUAR-2016. 2016.

Improved Generation of Higher Harmonics and Suppression of the Lowest Harmonics in an X-Ray FEL with a Two-Frequency Undulator

K. V. Zhukovsky

Department of Theoretical Physics, Faculty of Physics, Lomonosov Moscow State University. Moscow 119991, Russia. E-mail: zhukovsk@physics.msu.ru.

Theoretical research and simulation of the suppression of the lowest harmonics of free-electron laser radiation (FEL) with a two-frequency undulator was carried out. A phenomenological model of an FEL that describes the evolution of power in an FEL considering all the main losses was used. Radiation of harmonics in an FEL with a two-frequency flat undulator is compared with the radiation of harmonics in an FEL with an ordinary flat undulator. Radiation of harmonics and the FEL-induced energy spread in a single-pass FEL, where harmonics that are lower with respect to the nth harmonic are suppressed, for example, by a shift of the electron phase relative to photons by $k\pi/n$, k= even, between the undulator walls were investigated. The advantages of using a two-frequency undulator in an FEL with suppressed lowest harmonics and the possibility of generating high-power X-ray radiation of higher harmonics in a linear mode are illustrated. The power of the higher harmonics can exceed the pitch power of an ordinary FEL with a flat undulator.

 $\textit{Keywords:}\$ undulator radiation, harmonic generation, free-electron laser (FEL), two-frequency undulator, phase shift. PACS: 41.60 m. 41.60.Ap, 41.60.Cr.

Received 24 January 2018.

English version: Moscow University Physics Bulletin. 2018. 73, No. 5. Pp. 462–469.

Сведения об авторах

Жуковский Константин Владимирович — доктор физ.-мат. наук, вед. науч. сотрудник; тел.: (495) 939-31-77, e-mail: zhukovsk@physics.msu.ru.